

تحلیل خطر لرزه‌ای شهر کرمان با تأکید بر کاربرد GIS در ریزپهنه‌بندی مقدماتی درجه ۲

رضا حسن زاده^۱، احمد عباس نژاد^۲، اکبر علوی^۳ و ابراهیم شریفی تشنیزی^۴

^۱ گروه علوم محیطی، پژوهشکده علوم محیطی، مرکز بین المللی علوم، تکنولوژی پیشرفت و علوم محیطی، کرمان، ایران.

^۲ گروه زمین‌شناسی، داشکده علوم، داشکده علوم، دانشگاه شهید باهنر کرمان، کرمان، ایران.

^۳ مرکز مطالعات مدیریت بحران شهرداری کرمان، کرمان، ایران.

^۴ گروه زمین‌شناسی، داشکده علوم، دانشگاه تربیت مدرس، تهران، ایران.

تاریخ پذیرش: ۱۳۸۹/۰۲/۱۴

تاریخ دریافت: ۱۳۸۷/۰۹/۱۲

چکیده

در این پژوهش، لرزه‌خیزی شهر کرمان پررسی شده است. شهر کرمان در حاشیه شمالی دشت کرمان که یک فروزنین (گراین) فشاری است قرار دارد و گسل‌های متعددی در محدوده شهر، مرز کوه و دشت و مناطق نزدیک شهر قرار دارند که تعدادی از آنها می‌توانند موجب بروز زلزله‌های حتی قوی تراز ۷/۷ ریشتر شوند. تاکنون زلزله‌های تاریخی و سده بیست متعددی در نزدیکی شهر کرمان رخ داده‌اند که باعث آسیب جزئی آن شده‌اند. خطر زلزله به روش احتمالاتی و تحلیلی برای شهر کرمان بررسی شد، براساس ارزیابی خطر زلزله با روش تحلیلی، شتاب ناشی از گسل می‌تواند در کرمان بیش از ۰/۲ g باشد. شدت ناشی از گسل‌های کرمان -زنگی آباد، شمال کرمان و اختیار آباد می‌تواند به ۰/۹ مرکالی اصلاح شده (IX MMI) برسد. برای تعیین میزان خطر نواحی مختلف شهری، مطالعات ریزپهنه‌بندی درجه ۲ تشید جنبش زمین صورت گرفت. از تلفیق نقشه‌های دوره چیره میکروترمور و نوع رسویات در سیستم GIS نقشه ریزپهنه‌بندی میزان تشید جنبش نیرومند زمین در شهر کرمان و مناطق اطراف تهیه شد که با توجه به س্টریت زیاد رسویات سنت جوان در محدوده این شهر و تشید ناشی از آنها به ۱۰/۵ مرکالی اصلاح شده (X^+ MMI) هم خواهد رسید. بر اساس نقشه خطر به دست آمده از شهر کرمان (نقشه ریزپهنه‌بندی میزان تشید جنبش زمین) میزان خطر در بخش‌های مرکزی، باختی و همچنین بخش‌هایی از جنوب شهر به شدت افزایش می‌یابد که سازه‌های موجود در این بخش‌ها در اثر زلزله احتمالی به شدت ویران خواهند شد.

کلیدواژه‌ها: لرزه‌خیزی، ریزپهنه‌بندی، سامانه اطلاعات جغرافیایی، جنبش نیرومند زمین، نقشه خطر، کرمان.

E-mail: Hassanzadeh22@yahoo.com

*نویسنده مسئول: رضا حسن زاده

-۱ مقدمه

اطراف دشت کرمان به چشم می‌خورد. رسویات سنت، سیر و به نسبت جوان که در زیر شهر کرمان قرار دارند می‌توانند اثر تشید کننده‌ای بر امواج لرزه‌ای داشته باشند. در شکل ۳، نقشه زمین‌شناسی شهر کرمان و حومه ارائه شده است. گسل‌های بسیاری در نزدیکی شهر کرمان وجود دارند که موقعیت آنها در نقشه زمین‌شناسی (شکل ۳) درج شده است. در عین حال، در این مطالعه گسلی که از حوالی زنگی آباد به سمت شهر ادامه می‌یابد نیز برای اولین بار شناسایی شد که در این پژوهش به عنوان گسل کرمان -زنگی آباد معروف می‌شود. شواهد مربوط به این گسل که در شناسایی مفید واقع شدن، شامل قطع شدگی ساخته‌های زمین‌شناسی و برگشتگی یال باختり ناویدیس زنگی آباد در امتداد و مجاور این گسل است. به نظر می‌رسد گسل کرمان -زنگی آباد در سوی شمال باختیر شهر تا چهاردهم کیلومتر برآورد و در آنچه به گسل کوهبنان می‌پیوند و بنابراین، طول آن حدود ۳۰ کیلومتر برآورد می‌شود. اگر چه این گسل رسویات سطحی و جدید دوران چهارم راقطع نکرده است و فعال به نظر نمی‌رسد اما به دلیل عبور از زیر شهر کرمان و قرار گرفتن در امتداد گسل فعل کوهبنان، در ارزیابی لرزه‌خیزی شهر کرمان مورد توجه قرار گرفته است، حسن زاده (۱۳۸۵) اطلاعات بیشتری در مورد این گسل ارائه کرده است. نقشه ژئومنغناطیس هوایی منطقه کرمان (Yousefi & Freidberg, 1978) گواه وجود برخی از خطواره‌ها در دشت کرمان است که می‌توانند گسل باشند.

-۲ زمین‌شناسی

دشت کرمان یک چاله زمین‌ساختی از نوع فروزنین فشاری است (عباس نژاد، ۱۳۸۳) و به لحاظ زمین‌شناسی به ایران مرکزی تعلق دارد. تماس آن با کوه‌های اطراف معمولاً از نوع گسلی است. بسیاری از این گسل‌ها فعال هستند و شهر را کم ویژش تهدید می‌کنند. اگر چه بسیاری از کوه‌های اطراف شهر کرمان از جنس سنگ‌آهک‌های کرتاسه هستند (Hukriede et al., 1962; Dimitrijevic, 1973) و لی بر اساس شواهد مربوط به بررسی‌های ژئوفیزیکی و حفاری (عباس نژاد، ۱۳۷۷ و CITRA, 1965) در محل فعلی شهر کرمان توالی پیوسته‌ای از رسویات میوسن تا کواترنر وجود دارد که سبیرای آن به بیش از ۲۰۰ متر می‌رسد (شکل ۲). رسویات میوسن از جنس کنگلومرات سرخ و لایه‌های رسی- مارنی هستند که توسط لایه‌های رسی، سیلتی و مارنی پلیوسن پوشیده شده‌اند. رسویات کواترنر از آبرفت‌های ریز رسی همراه با لایه‌های نازک آبرفت درشت (بویژه به سمت ارتفاعات خاور شهر) و لایه‌های سیلتی- ماسه‌ای تشکیل شده است (Kajar, 1996). براساس شواهد موجود، در زیر شهر کرمان رسویات میوسن به طور دگر شیب روی سنگ‌آهک‌های کرتاسه و احتمالاً در برخی نقاط روی شیل‌های ژوراسیک قرار گرفته‌اند. مهندسین مشاور راکشاپ (۱۳۵۷) سنگ کف دشت و شهر کرمان را لایه‌های مارنی سرخ میوسن در نظر گرفته‌اند که کم ویژش با گچ و نمک همراه هستند. این سنگ‌ها فرسایش پذیرند و بنابراین بهمندرت رخمنون‌هایی از آنها در

اگر چه تاکنون مطالعات کاملی در زمینه زلزله‌خیزی محدوده شهر کرمان صورت نگرفته است، اما کارشناسان بسیار هر یک به نحوی، به زلزله‌خیزی آن پرداخته‌اند. یغمایی (۱۳۷۰ و ۱۳۷۱) با روش تحلیلی زلزله‌خیزی شهر کرمان را بررسی کرده است، به باور او گسل‌های شمال کرمان و باغین تهدید کننده اصلی شهر کرمان هستند، او طول گسل شمال کرمان را ۴۰ کیلومتر و کمترین فاصله آنرا تا شهر ۱۵ کیلومتر در

(Donovan و Naumoski (1985)، همگی به نقل از پورکرمانی و آرین، ۱۹۷۳) شتاب زمین‌لرزه ناشی از هر گسل بر شهر کرمان محاسبه شد (جدول ۲). جدول ۲ مشخص می‌سازد که شتاب ناشی از زمین‌لرزه‌های مرتبط با ۱۵ گسل می‌تواند در کرمان بیش از $0/20$ باشد که می‌تواند حد شروع تخریب در نظر گرفته شود. از این میان، شتاب زمین‌لرزه مربوط به گسل‌های کرمان - زنگی آباد، شمال کرمان و اختیار آباد به دلیل نزدیکی آنها با شهر کرمان قابل توجه است و به ترتیب به $0/43$ ، $0/37$ و $0/33$ می‌رسد. با توجه به ارتباط شتاب با شدت (در مقیاس MMI)، شدت زمین‌لرزه ناشی از آنها حدود IX خواهد بود. فرایند استفاده از GIS برای محاسبه بیشترین شتاب و شدت در شکل ۸ آمده است. البته به دلیل سبک‌تری زیاد روسویات سست رسی - سیلی در زیر شهر کرمان، امکان تقویت جنبش نیرومند زمین و افزایش شدت زمین‌لرزه تا حدود X وجود دارد که می‌تواند بخش اعظم شهر را تخریب کند.

۴- ریزپنه‌بندی درجه ۲ شهر کرمان

تحت تأثیر شرایط زمین‌شناسی در محدوده شهر (شکل ۲) و تشدید ناشی از آن، رقم شدت زمین‌لرزه می‌تواند کم و بیش افزایش یابد. زمین‌لرزه‌های بسیاری از جمله زمین‌لرزه سال ۱۹۸۵ مکرر گوستی و زمین‌لرزه سال ۱۳۶۹ رودبار نمونه‌هایی از تشدید ناشی از تأثیر شرایط محل و در نتیجه لزوم مطالعات ریزپنه‌بندی محدوده شهرها را نشان می‌دهند. به منظور تعیین تأثیر شرایط زمین در نقاط مختلف یک محدوده، نقشه‌های ریزپنه‌بندی تهیه می‌شوند. در مطالعات ریزپنه‌بندی تأثیر شرایط محل بر حرکت زمین، گسیختگی دامنه‌ها و روانگرایی مورد توجه قرار می‌گیرند. این سه متغیر در سه درجه متفاوت (درجات ۱، ۲ و ۳) قابل انجام هستند که از درجه ۱ به ۳، دقت کار، حجم و دقت داده‌های مورد نیاز و میزان هزینه‌ها افزایش می‌یابد (I. S. S. M. F. E., 1993).

از آنجا که تهیه نقشه ریزپنه‌بندی درجه ۳ شهر کرمان نیاز به اعتبار زیاد و بررسی‌های ژئوتکنیکی دقیق دارد و در عین حال دقت نقشه‌های ریزپنه‌بندی درجه ۱ بسیار کم است بنابراین مطالعات ریزپنه‌بندی درجه ۲ شهر صورت گرفت. در ریزپنه‌بندی، تأثیر شرایط محل از روش تقویت حرکت (جنبش) زمین، گسیختگی دامنه‌ها و روانگرایی مورد توجه قرار می‌گیرد که در این مطالعه هر سه متغیر ارزیابی شده است.

۴-۱. خط حرکات دامنه‌ای

یکی از جنبه‌های رایج آسیب لرزه‌ای، گسیختگی دامنه‌ها در تمامی سطوح شبیدار در هنگام وقوع زمین‌لرزه است که در اثر آن آسیب وارد می‌شود. در بسیاری از زمین‌لرزه‌های قوی، بویژه زمین‌لرزه سال ۱۳۶۹ رودبار گسیختگی‌های دامنه‌ای به شدت صورت گرفتند و از این نظر مشکلات بسیاری به وجود آمد.

شهر کرمان به طور عمده در سطح دشت (پلایای) کرمان توسعه یافته است. بنابراین با توجه به شکل ۹ شبیه زمین در محدوده این شهر کمتر از 10° است و خطر گسیختگی دامنه‌ها و آسیب ناشی از آن مطرح نیست. در اثر وقوع زمین‌لرزه، تنها ممکن است ریزش‌هایی در دامنه کوههای مسجد صاحب الزمان که در حاشیه خاوری شهر کرمان قرار دارند صورت گیرند که بر اساس مشاهدات صحراوی نمی‌توانند آسیب عمده‌ای وارد کنند.

۴-۲. خط روانگرایی

در صورتی که در محلی سطح آب‌های زیر زمینی بالا بوده، روسویات سست ماسه‌ای وجود داشته و شدت زمین‌لرزه هم از حدود VI MMI بالاتر باشد خطر روانگرایی مطرح خواهد بود، به طوری که ممکن است روانگرایی در هنگام زمین‌لرزه موجب آسیب به ساختمان‌ها و افزایش اثرات زمین‌لرزه شود (Wang & Tim Law, 1994). گسل‌های بسیاری در نزدیکی شهر کرمان وجود دارند که می‌توانند زمین‌لرزه‌های قوی‌تر از ۷ ریشتر ایجاد کنند. شدت ناشی از آنها در شهر کرمان تا به IX MMI

نظر گرفته است، براساس مطالعات وی، وقوع زمین‌لرزه ۷ ریشتری در محدوده این گسل امکان‌پذیر است که در این صورت نتیجه می‌گیرد در شهر کرمان شدت آن VI MMI خواهد بود. یغمایی (۱۳۷۱) طول گسل باغین را 73 کیلومتر و کمترین فاصله آن را با شهر کرمان 20 کیلومتر برآورد کرده است، بر اساس این بررسی‌ها، وقوع زلزله در سطح این گسل می‌تواند باشد آن $7/6$ ریشتری توسط آن شاه‌پسندزاده و حیدری (۱۳۷۵) نزدیکترین گسل تهدید کننده شهر کرمان را گسل کوهبنان معروف کرده‌اند. براساس این مطالعات، طول قطعه‌ای از این گسل که در نزدیکی شهر کرمان قرار دارد 80 کیلومتر و وقوع زلزله $7/6$ ریشتری توسط آن امکان‌پذیر است که در این صورت شدت آن در شهر کرمان بیش از IX خواهد بود. آله و شرکتی (۱۳۷۵) نیز با استفاده از نرم افزار، خطر زمین‌لرزه به روش احتمالاتی برای شهر کرمان را محاسبه کرده‌اند. زارع (۱۳۷۴) و ریاضی و همکاران (۱۳۸۴) نیز لرزه‌خیزی این شهر را به عنوان بخشی از یک محدوده وسیع تر بررسی کرده‌اند. تاکنون زمین‌لرزه‌های بسیاری باعث خرابی ساختمان‌ها در شهر کرمان شده‌اند، به عنوان مثال زمین‌لرزه 28 دی ماه ۱۴۴۲ می‌ترود (منتسب به گسل کوهبنان) آسیب قابل توجهی به شهر کرمان وارد ساخت. زمین‌لرزه $12/76$ خرداد ۱۴۷۶ نیز باعث تخریب ساختمان‌ها و کشته شدن چند نفر شد. حتی زمین‌لرزه 31 شهریور 1302 لاله‌زار که به گسل رفسنجان نسبت داده می‌شود و مرکز آن با شهر کرمان 90 کیلومتر فاصله داشته است باعث آسیب دیدگی برخی از ساختمان‌های کرمان و زخمی شدن 2 نفر شد (عباس نژاد و داستانپور، ۱۳۷۸). شدت زمین‌لرزه 7 ریشتری 6 مرداد 1360 سیزده در شهر کرمان حدود VII بود که موجب تخریب برخی از ساختمان‌های قدیمی و فرسودگی شهر شد، به طوری که بخشی از سقف بازار و مسجد حاج آقا علی در کرمان فرو ریخت (ظهوریان ایزدپناه و همکاران، ۱۳۶۴). به منظور بررسی روند رخداد زمین‌لرزه در ابعاد مختلف و به روش آماری-احتمالاتی، 437 زمین‌لرزه روی داده در سال‌های 1970 تا 2005 در شاعع 300 کیلومتری شهر کرمان که بزرگی آنها بیش از 4 ریشتر بوده است بررسی شد. بر اساس این مطالعه، مقدار ضرایب a و b به ترتیب $5/128$ و $0/5955$ به دست آمد (شکل ۴). سپس، با توجه به این ضرایب اندازه زمین‌لرزه‌های با دوره برگشت مختلف محاسبه شد (جدول ۱). خاطر نشان می‌سازد با توجه به طول قطعه گسل‌های اطراف شهر کرمان، تنها گسل نایند می‌تواند می‌تواند زمین‌لرزه در حد 8 ریشتر را ایجاد کند. زمین‌لرزه ناشی از دیگر گسل‌ها در حد $7/2$ تا 7 ریشتر هستند. وقوع 40 زمین‌لرزه بیش از 6 ریشتر در طی یک دوره 92 ساله در شاعع 300 کیلومتری شهر کرمان گواه بر این پیش‌بینی هستند. در عین حال، نموادر دوره بازگشت و احتمال وقوع زمین‌لرزه‌های با اندازه‌های مختلف نیز رسم شد (شکل ۵).

خطار نشان می‌سازد که ریاضی و همکاران (۱۳۸۴) وضعیت لرزه‌خیزی گستره‌ای به شاعع 150 کیلومتر نسبت به شهر کرمان را بررسی کرده و مقدار a و b را به ترتیب $2/93$ و $0/86$ به دست آورده‌اند. این در حالی است که Ashtari-Jafari et al. (2004) مقادیر $5/31$ و $0/73$ را برای a و b برآورد کرده‌اند (شعاع محاسبه اعلام نشده است). با روش تحلیلی نیز می‌توان خطر زمین‌لرزه در یک محل را ارزیابی کرد. به این منظور، نقشه گسل‌ها و چشم‌های لرزه‌زا تشعاع 200 کیلومتر نسبت به شهر کرمان بر اساس نقشه‌های زمین‌شناسی، تصاویر ماهواره‌ای و عکس‌های هوایی تهیه شد. فرایند استفاده از GIS در تهیه چشم‌های لرزه‌زا در شکل ۶ نشان داده شده و نقشه حاصل از آن در شکل ۷ مشخص است. در عین حال، قطعات مختلف هر گسل شناسایی و طول هر قطعه تعیین شد. سپس، کمترین فاصله هر قطعه با شهر کرمان اندازه گیری و با داشتن طول گسل‌ها بر اساس روابط Crouse (1991)، Nowroozi (1985) و Mohajer-Ashjai & Nowroozi (1982) به نقل از پورکرمانی و آرین (۱۳۷۶) اندازه زمین‌لرزه‌ای که می‌توانند ایجاد کنند، محاسبه شد. در مرحله آخر، با استفاده از روابط Esteva & Villaverde (1973)

منحنی دوره تناوب میکروترمورها برای هر نوع خاک سطحی شکل خاصی دارد. ضرایب تشید به دست آمده از آنها می‌تواند برای برآورد میزان تشید حرکات زمین در اثر زمین‌لرزه‌های شدید مورد استفاده قرار گیرند. رسوبات بخش‌های مشخصی از طیف میکروترمورها را تقویت می‌کنند که تابع ویژگی‌های دینامیکی رسوب است. دوره تناوب میکروترمورها عموماً تحت تأثیر شرایط لایه‌بندی رسوب نیز قرار می‌گیرد. میزان تشید آنها در رسوبات نرم بیشتر است. عموماً تشابه خوبی میان دوره تناوب چیره میکروترمورها و دوره تناوب چیره امواج لرزه‌ای به چشم می‌خورد (روستاییان، ۱۳۷۹). این نوع مطالعات برای شهرهای زیادی از جمله بارسلونا (Ansal et al., 2002) و کاراکاس (Alfero et al., 2002) باشند.

توسط روزتاییان (۱۳۷۹) و با استفاده از دستگاه ثبات-SSR-1 Kinmetrics و لرزه‌سنج‌های کوتاه دوره SS-1 Kinmetrics صورت گرفته است. سنجش‌ها در ۵۳ نقطه انجام شده که از آن میان ۳۹ ثبت مناسب به دست آمده است. دوره تناوب چیره و دامنه پیشینه میکروترمورها با استفاده از طیف چگالی توان (PDS) تعیین و با استفاده از نرم افزار Pitsa مورد پردازش قرار گرفته است. برای تحلیل، از روش طیفی مؤلفه‌های افقی به قائم (معروف به روش ناکامورا) استفاده شده است، در این مطالعات دوره تناوب چیره میکروترمورها در دو محدوده ۰/۰۵ ثانیه و ۱/۲۵ تا ۱/۷۵ ثانیه تمرکز یافته که مورد اول احتمالاً معرف بازتاب سنگ کف لرزه‌ای کم‌زراfa (ستبرای کم آبرفت) و مورد دوم یانگر ژرف بودن سنگ کف لرزه‌ای است (روستاییان، ۱۳۷۹). در شکل ۱۶ نقشه پهنه‌بندی دوره تناوب چیره میکروترمورها در شهر کرمان به نقل از روزتاییان (۱۳۷۹) درج شده است. براساس این نقشه دوره تناوب چیره در محدوده جنوبی شهر حوالی محله ابودر و همچنین در بخش باختری شهر حوالی میدان آزادی، بلوار جمهوری، جاده تهران و راه‌آهن بیش از ۱/۵ ثانیه است. بنابراین در این مناطق میزان تشید جنبش نیرومند زمین (به دلیل بالا بودن ستبرای رسوبات) زیادتر خواهد بود. دوره تناوب چیره میکروترمورها از خاور به باختر و از شمال به جنوب شهر افزایش می‌یابد، بنابراین ستبرای آبرفت در بخش‌های خاوری و شمالی کم و در بخش‌های باختری و جنوبی شهر زیاد است. میزان تشید جنبش نیرومند زمین متأثر از نوع رسوبات هم است، به طوری که در خاک‌های ریز دانه بیشتر از انواع درشت دانه است. به عنوان مثال، بر اساس اطلاعات ارائه شده توسط برگی (۱۳۸۲)، میزان افزایش شدت زمین‌لرزه در سطح زمین نسبت به شدت مبنای در پی‌سنگ در خاک‌های رسی، لوم و لوم ماسه‌ای ۱/۶، در ماسه‌ها ۱/۵ و در آبرفت‌های درشت ۱/۴ در نظر گرفته می‌شود. نقشه پهنه‌بندی نوع رسوبات محدوده شهر کرمان در شکل ۱۶ ارائه شده است که تلفیقی از نقشه ستون‌های زمین‌شناسی حفر شده در شهر، نقشه رسوب‌شناسی و زمین‌ریخت‌شناسی و مطالعات میدانی نگارندگان است. با تلفیق داده‌های میکروترموری و رسوب‌شناسی (شکل‌های ۱۴ و ۱۵) در سامانه اطلاعات جغرافیایی (GIS)، نقشه ریزپهنه‌بندی میزان تشید جنبش زمین در شهر کرمان تهیه شد (شکل ۱۶).

در این نقشه محدوده‌هایی که دوره چیره میکروترمورها بیش از ۱/۵ ثانیه و جنس رسوبات رسی و سیلتی بوده است، بیشترین میزان تشید را دارند و به عنوان محدوده با «پتانسیل تشید بالا» در نظر گرفته شده‌اند. محدوده‌هایی که دوره تناوب چیره میکروترمورها در حد ۱/۵ تا ۱/۱ ثانیه و جنس رسوبات ماسه‌ای یا رسی و رسی-سیلتی بوده است، به عنوان «پتانسیل تشید متوسط» معروفی شده‌اند و در پایان، محدوده‌هایی که در آنها دوره تناوب چیره میکروترمورها کمتر از ۱ ثانیه بوده، بدون در نظر گرفتن جنس رسوبات به عنوان «پتانسیل تشید کم» تلقی شده‌اند.

با توجه به این که بیشترین شدت زمین‌لرزه (شدت مبنای) در پی‌سنگ شهر کرمان در حد ۹ مرکالی اصلاح شده (IX MMI) برآورد می‌شود (شاه‌پسندزاده و حیدری، ۱۳۷۵)، میزان واقعی شدت تحت تأثیر شرایط زمین‌شناسی محلی در محدوده‌های با

خواهد رسید (شاه‌پسندزاده و حیدری، ۱۳۷۵). بنابراین می‌توان نتیجه گرفت که به لحاظ ویژگی‌های لرزه‌شناسی امکان ایجاد روانگرایی در محدوده شهر کرمان وجود دارد. تعیین پتانسیل روانگرایی در اثر زمین‌لرزه یک مسئله پیچیده در زمین‌شناسی مهندسی و ژئوتکنیک است که عوامل زیادی را شامل می‌شود (زمردیان و منصوری، ۱۳۸۳). روش‌های بسیاری برای برآورد پتانسیل روانگرایی ارائه شده است که مبنای همچون متظر القائم (۱۳۷۴)، Wang & Time Law (1994) و میر محمد حسینی و درخشندی (۱۳۸۳) نمونه‌هایی از آنها را شرح داده‌اند. زمردیان و منصوری (۱۳۸۳) روش الگوریتم رئیسیک و زمردیان و باقری (۱۳۸۳) مدل Byrne را برای ارزیابی پتانسیل روانگرایی توضیح داده‌اند.

با توجه به دستور العمل (1993)، در ریزپهنه‌بندی درجه ۲، پتانسیل روانگرایی براساس معیارهای زمین‌شناسی (بویژه رسوب‌شناسی و آب‌شناسی) و زمین‌ریخت‌شناسی برای هر نقطه مورد ارزیابی قرار گرفته و نقشه ریزپهنه‌بندی تهیه می‌شود. توجه به معیارهای زمین‌ریخت‌شناسی کمک می‌کند که محدوده‌های با رسوبات سمت ماسه‌ای-سیلتی آسان‌تر شناسایی شوند.

یکی از مهم‌ترین عوامل محیطی تأثیر گذارنده بر خطر روانگرایی، ژرفای سطح آب‌های زیرزمینی است. براساس تجربیات مربوط به زمین‌لرزه‌های روی داده در نقاط مختلف دنیا، در بسیاری از مواردی که روانگرایی در سطوح صاف و هموار رخ داده، ژرفای آب‌های زیرزمینی بیش از ۳ متر نبوده است. البته در موارد محدودی تا ژرفای حدود ۴ متر هم روانگرایی ایجاد شده است اما هیچ گونه روانگرایی در زمین‌های سطحی که ژرفای آب زیرزمینی در آنها بیش از ۵ متر بوده، دیده نشده است (Wang & Time Law, 1994).

در شکل ۱۰ نقشه ژرفای آب زیرزمینی در محدوده شهر کرمان ارائه شده است. با توجه به آن، ژرفای آب از کمتر از ۱۰ متر در شمال شهر، تا حدود ۱۰۰ متر در جنوب باختری شهر متغیر است. البته سطح آب‌های زیرزمینی در شهر کرمان به طور متوسط سالانه ۰/۵ متر بالا می‌آید (احمدی افزادی، ۱۳۸۱) که علت آن تغذیه شدید سفره توسعه چاههای جاذب فاضلاب شهر کرمان است. در مجموع، با توجه به نرخ بالا آمدن سطح آب‌های زیرزمینی در محدوده شهر کرمان، محدوده‌های با ژرفای آب زیرزمینی کمتر از ۷ متر می‌توانند پتانسیل روانگرایی بالای داشته باشند (به شرطی که به لحاظ رسوب‌شناسی نیز مناسب باشند). براساس اطلاعات ارائه شده توسط مهندسین مشاور کوانتا و با توجه به شرایط زمین‌ریخت‌شناسی دشت کرمان، نقشه نوع رسوبات سطحی (تا ژرفای حدود ۵ متر) در محدوده این شهر ارائه شده است (شکل ۱۱). در این نقشه محدوده‌های متشکل از رسوبات ماسه‌ای در صورت بالا بودن سطح آب‌های زیرزمینی پتانسیل روانگرایی بالای دارند. بنابراین در سامانه GIS نقاط آمده از نظر ژرفای آب زیرزمینی (شکل ۱۰) و نوع رسوب (شکل ۱۱) تلفیق و نقشه محدوده‌های مستعد به روانگرایی تهیه شده است (شکل ۱۲). این محدوده بخش کوچکی از شهر در حوالی مرکز شهر و بافت قدیم را در بر می‌گیرد.

۴-۳. جنبش زمین

در ریزپهنه‌بندی لرزه‌های درجه ۲ به منظور ارزیابی میزان تشید جنبش زمین می‌توان از نتایج آزمایش‌های نفوذ استاندارد (SPT)، طبقه‌بندی زمین بر پایه اطلاعات گمانه‌ها، داده‌های ژئوتکنیکی، سنجش‌های میکروترموری و یا سرعت موج در خاک و رسوب استفاده کرد (I. S. S. M. F. E., 1993). در ارتباط با شهر کرمان از تلفیق یافته‌های مطالعات میکروترمورها و طبقه‌بندی بر پایه اطلاعات گمانه‌ها استفاده می‌شود. فرایند استفاده از GIS برای تهیه نقشه خطر جنبش نیرومند زمین در شکل ۱۳ مشخص است. میکروترمورها لرزش‌های بسیار ضعیف دائمی زمین هستند که در اثر عوامل مختلفی مانند حرکت ترافیک، وزش باد و غیره ایجاد می‌شوند. دامنه آنها معمولاً ۰/۱ تا ۱ میکرون و دوره آنها ۰/۰۵ تا ۰/۱ ثانیه است و به طور عمده به امواج ریلی شbahat دارند.

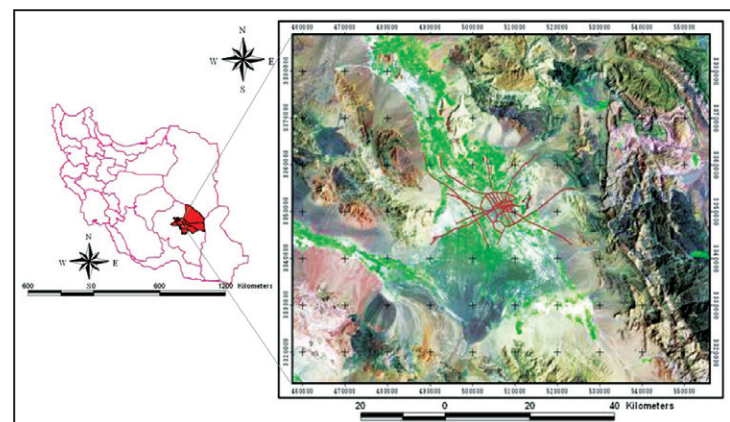
روانگرایی در محدوده کوچکی از مرکز شهر مطرح است. در عین حال، به علت بالا بودن س্টری رسویات سست جوان در زیر شهر که با افزایش دوره تناوب چیره امواج میکو و ترموری تأیید می شود و نیز به علت ریزدانه و سست بودن این رسویات، خطر تشدید جبنش زمین (بویژه در محدوده ای از جنوب و مرکز تا باخته شهر) مطرح است که در اثر آن شدت زمین لرزه تا به X^+ MMI هم خواهد رسید. بر اساس نقشه خطر شهر کرمان (نقشه ریزپهنه بندی میزان تشدید جبنش زمین) میزان خطر در بخش های مرکزی، باختری و همچنین بخش هایی از جنوب شهر به شدت افزایش می یابد که سازه های موجود در این بخش ها در اثر زمین لرزه احتمالی به شدت ویران خواهند شد.

سیاستگزاری

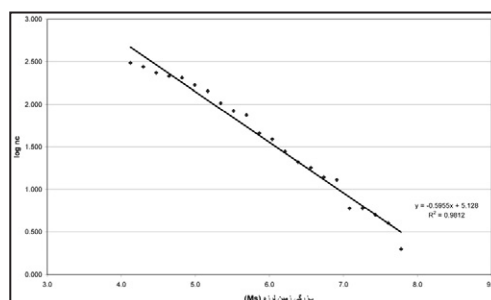
نگارند گان مقاله از همکاری مرکز مطالعات مدیریت بحران شهرداری کرمان تشکر می کنند.



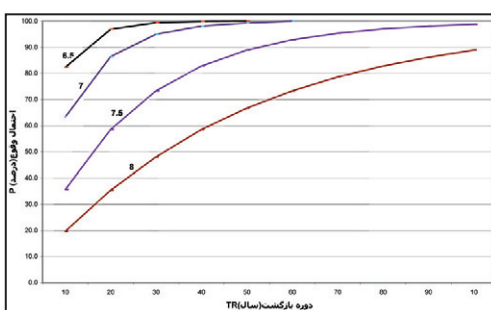
شکل ۲-۱) ستون زمین‌شناسی چاه اکتشافی طاهر آباد (CITRA, 1965)، (B) ستون زمین‌شناسی چاه شماره یک شرکت تعیاره، جند منظوره دانشگاه باهنر (عام ۷۷، ۱۳۷۷).



شکل ۱- موقعیت شهر کرمان در حاشیه شمال خاوری دشت کرمان.



شکل ۴- نمودار رابطه میان بزرگی زمین‌لرزه و لگاریتم فراوانی تجمعی



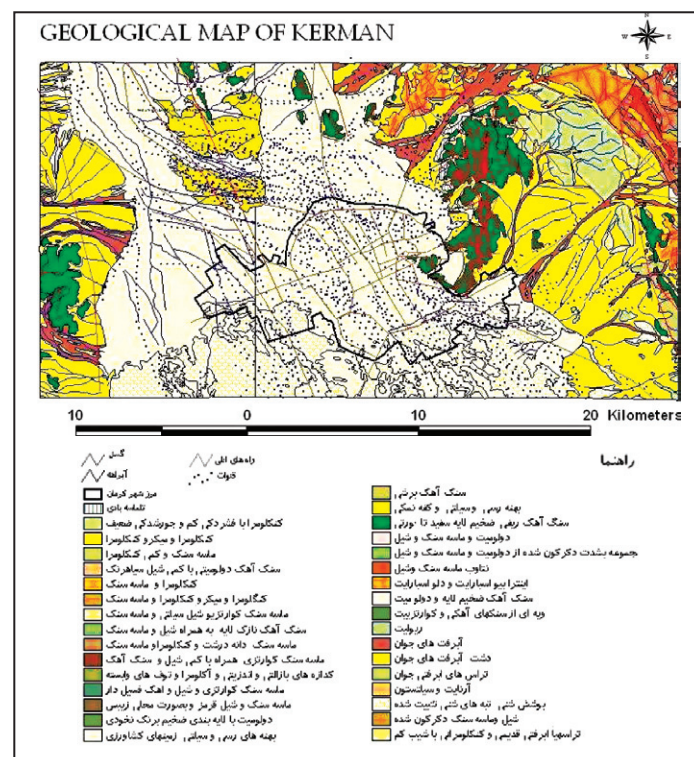
شکل ۵- نمودار دوره بازگشت و احتمال وقوع زمین لرزه‌های با بزرگی مختلف در شعاع ۳۰۰ کلمه متی، از شهر که مان.

پتانسیل تشدید بالا، متوسط و کم به ترتیب در حد X^+ , X و X^- مرکالی اصلاح شده برآورده می‌شود.

۵- نتیجہ گیری

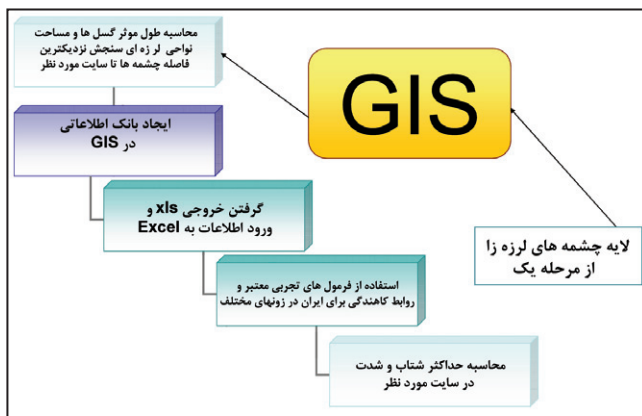
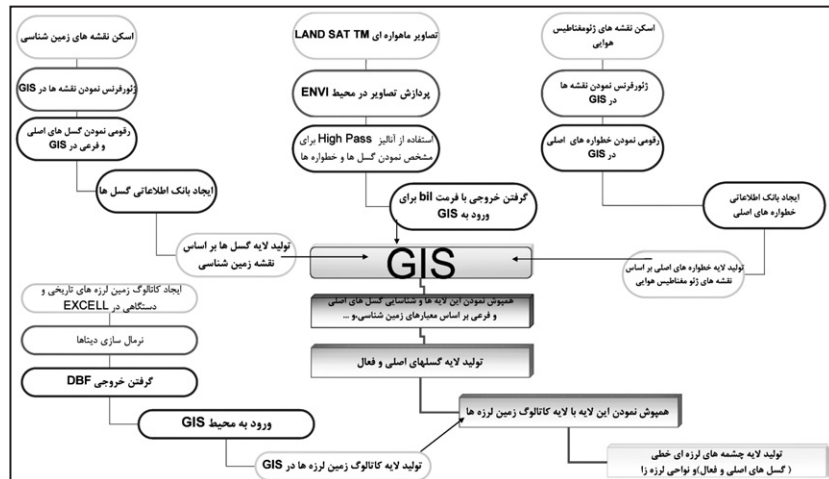
تحلیل خطر لزهای شهر کرمان با روش‌های احتمالاتی و تحلیلی مشخص می‌سازد که شهر کرمان در یکی از فعال‌ترین واحدهای لرزه‌زمین ساختی ایران واقع شده و گسل‌های فعال بسیاری در نزدیکی این شهر قرار دارند. شدت ناشی از زمین‌لرزهای مرتبط با گسل‌های کرمان-زنگی آباد، شمال کرمان و اختیارآباد به دلیل مجاورت این گسل‌ها با شهر کرمان در حدود IX MMI برآورد می‌شود.

ریز پنهانی درجه ۲ لرزه‌ای شهر کرمان نشان از این دارد که خطر گسیختگی دامنه‌ای ناشی از میان لرزه در محدوده شهر کرمان کم و پیش منتفی است، اما خطر ایجاد

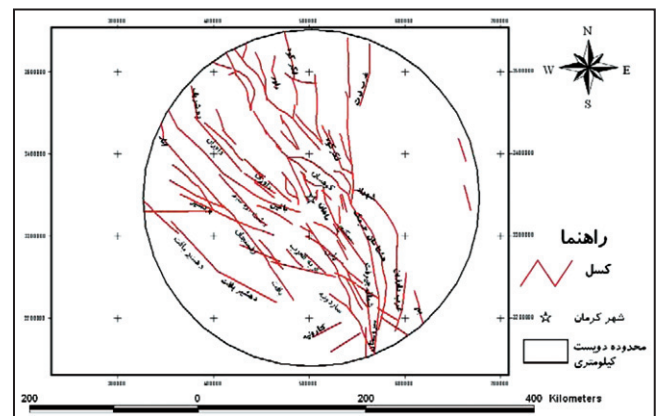


شکا ۳- نقشه زمین‌شناسی شهر کامان و حله (Azizan et al., 1999)

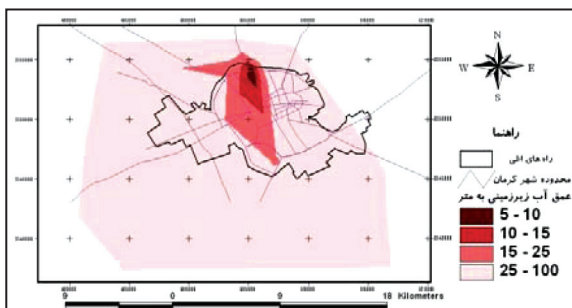
شکل ۶- فرایند استفاده از GIS برای تعیین چشمهدای لرزه‌زا.



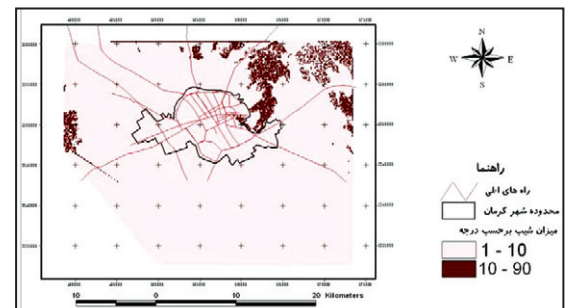
شکل ۷- فرایند استفاده از GIS در محاسبه بیشترین شتاب و شدت در سایت.



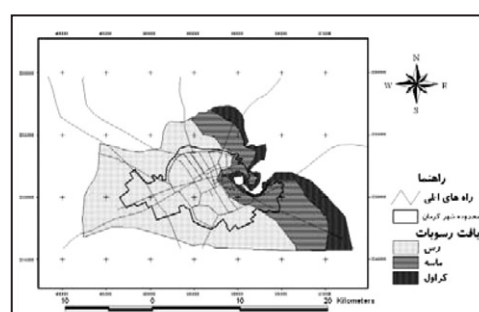
شکل ۷- نقشه مهم‌ترین گسل‌ها تا شعاع ۲۰۰ کیلومتری شهر کرمان (حسن زاده و عباس نژاد، ۱۳۸۵).



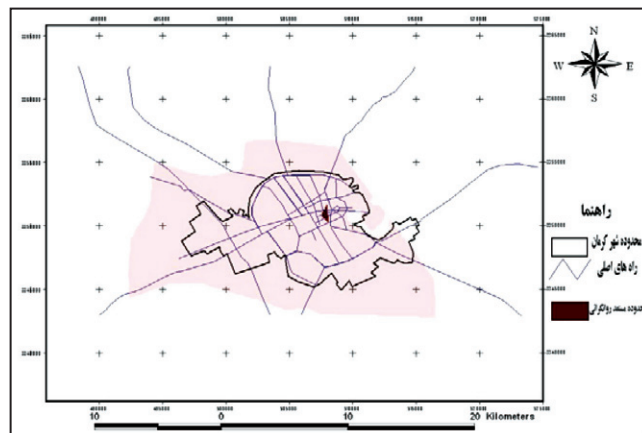
شکل ۱۰- نقشه ژرفای آب زیرزمینی در شهر (شرکت سهامی آب منطقه‌ای کرمان، ۱۳۸۳).



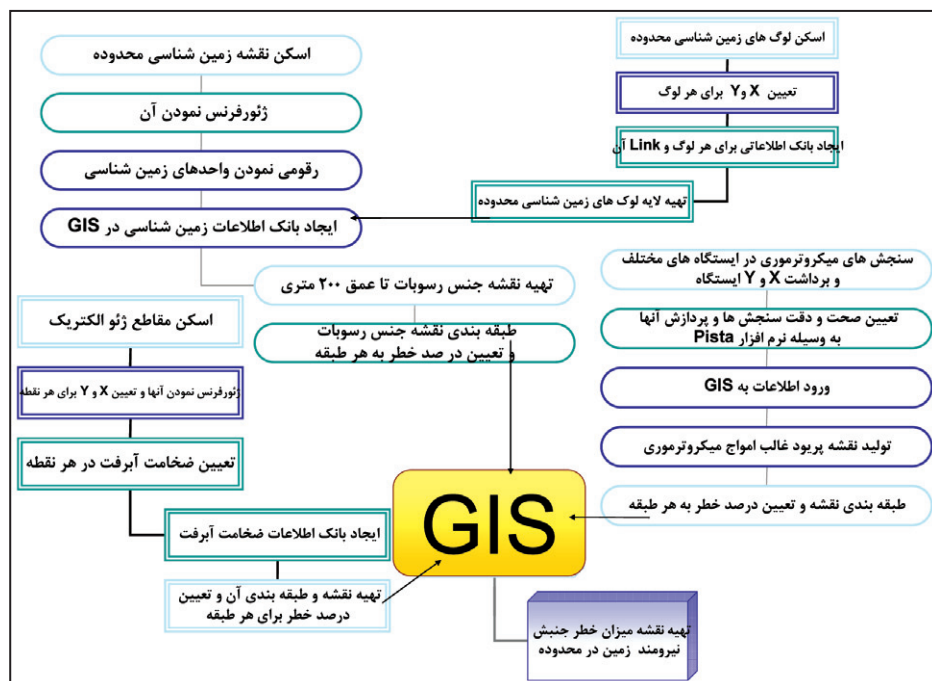
شکل ۹- نقشه شبیه شهر کرمان و حومه.



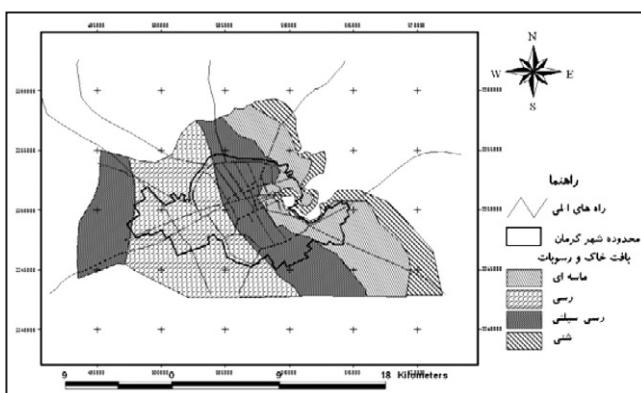
شکل ۱۱- نقشه بافت روستیات سطحی تا ژرفای حدود ۵ متر در محلوده شهر کرمان و حومه.



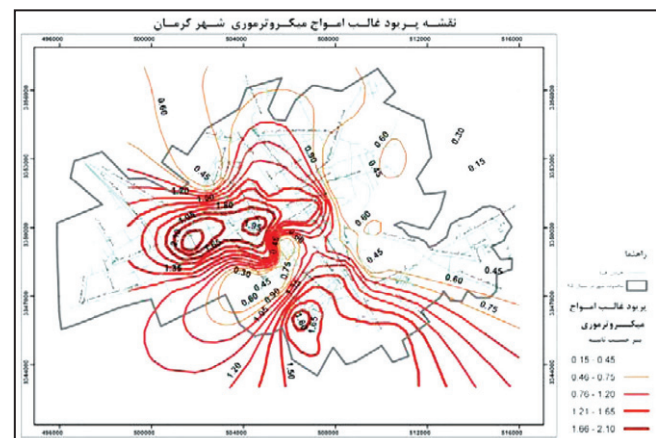
شکل ۱۲- نقشه محدوده مستعد به روانگرایی در شهر کرمان (بر اساس این نقشه تنها محدوده سیسیار کوچکی در حوالی مرکز شهر کرمان مستعد روانگرایی است).



شکل ۱۳- فرایند استفاده از GIS برای تهیه نقشه خطر جنیش نیرومند زمین.



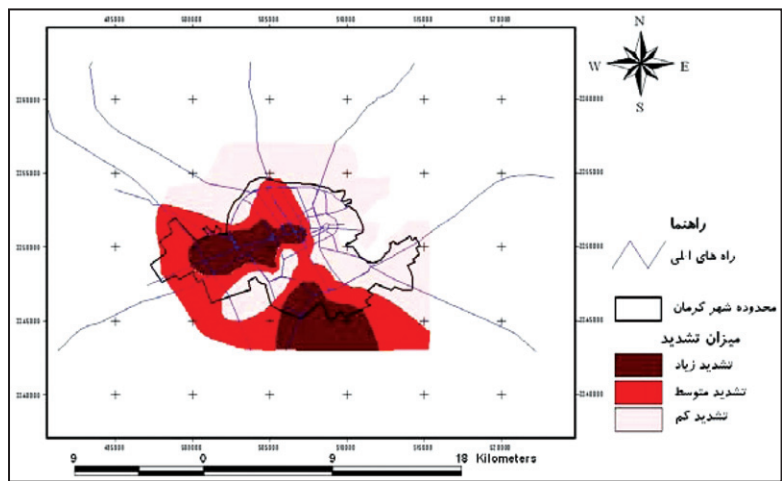
شکل ۱۵- نقشه پهنه‌بندی نوع رسوبات چیره در شهر کرمان و مناطق اطراف تا سنگ کف (د، فاتا ۲۰۰ متر).



شکل ۱۴- نقشه پهنه‌بندی دوره تناوب چیره امواج میکروترمودر شهر کرمان (دوسنایان، ۳۷۹).

جدول ۱- محاسبه بزرگی زمین لرزه‌ها برای دوره‌های بازگشت مختلف در محدوده‌ای به شعاع ۳۰۰ کیلومتر به مرکزیت شهر کرمان.

بزرگی زمین لرزه (Ms)	دوره بازگشت (سال) (TR)
۶/۴	۵
۶/۹	۱۰
۷/۲	۱۵
۷/۵	۲۵
۸/۰	۵۰



شکل ۱۶- نقشه ریزپنه‌بندی میزان تشدید جنیش زمین در شهر کرمان و مناطق اطراف، (عباس‌نژاد و حسن‌زاده، ۱۳۸۵).

جدول ۲- اسامی گسل‌هایی که شتاب زمین لرزه ناشی از آنها در شهر کرمان می‌تواند بیش از ۰/۲ g باشد

ردیف	نام گسل	طول گسل (Km)	فاصله گسل با شهر (Km)	بزرگی گسل (Ms)	میانگین شتاب در سایت
۱	کرمان - زنگی آباد	۳۰	در زیر شهر	۶/۶	۰/۴۳ g
۲	شمال کرمان	۲۴	۵	۶/۷	۰/۳۸ g
۳	اختیار آباد	۴۵	۱۶	۷	۰/۳۳ g
۴	ماهان	۴۳	۱۶	۷	۰/۳۲ g
۵	صاحب الزمان	۱۱	۱	۶/۳	۰/۳۱ g
۶	کوهبنان ۸	۳۳	۱۴	۶/۹	۰/۳۱ g
۷	باغین	۵۸	۲۲	۷/۱	۰/۲۹ g
۸	ده نو - ده ذکا	۳۲	۱۷	۶/۸	۰/۲۸ g
۹	بابینی - گودر	۶۹	۳۱	۷/۲	۰/۲۴ g
۱۰	کوهبنان ۹	۸۵	۳۴	۷/۳	۰/۲۴ g
۱۱	ده بالا - کینگان	۱۶	۱۵	۶/۵	۰/۲۴ g
۱۲	جوبار	۵۲	۲۸	۷/۱	۰/۲۳ g
۱۳	داوران ۱	۳۷	۲۵	۶/۹	۰/۲۳ g
۱۴	ناپند جنوبی	۱۳۴	۴۹	۷/۶	۰/۲۰ g

کتابنگاری

آل طه، ب. و شرکتی، ش.، ۱۳۷۵- گزارش نهایی طرح تحقیقاتی مطالعه لرزه‌خیزی و سایسمو-تکتونیک شهر کرمان، جلد های ۱، ۲ و ۳ دانشگاه آزاد اسلامی واحد زرند.
احمدی افرادی، ع.، ۱۳۸۱- مدل آب‌های زیرزمینی دشت کرمان با تأکید بر راه حل‌های مدیریتی جهت مقابله با بالا آمدگی سطح آب‌های زیرزمینی، پایان‌نامه کارشناسی ارشد، دانشگاه شهید چمران اهواز، ۱۸۵.

برگی، خ.، ۱۳۸۲- اصول مهندسی زلزله، انتشارات دانشگاه تهران، چاپ چهارم.
پور کرمانی، م. و آرین، م.، ۱۳۷۶- سایز موتکتونیک و لرزه زمین ساخت، مهندسین مشاور در آب.
حسن‌زاده، ر. و عباس‌نژاد، ا.، ۱۳۸۵، تحلیل خطر لرزه‌ای شهر کرمان با روش‌های احتمالاتی و تحلیلی، چکیده مقالات دهمین همایش انجمن زمین‌شناسی ایران، دانشگاه تربیت مدرس، ۱۳ تا ۱۵ شهریور ماه ۱۳۸۵، ص ۲۸۴.

حسن‌زاده، ر.، ۱۳۸۵- بررسی شرایط و مسائل زمین‌شناسی شهری کرمان با استفاده از سیستم اطلاعات جغرافیایی (GIS)، پایان‌نامه کارشناسی ارشد، دانشگاه شهید باهنر کرمان.
مهندسين مشاور راكتشab، ۱۳۵۷- گزارش مرحله اول طرح تأمین آب بیست ساله کرمان.
روستاییان، م.، ۱۳۷۹- تعیین پریود طبیعی ریزلرزه‌های زمین در شهر کرمان با استفاده از میکروتورمورها (لرزه‌های خفیف)، وزارت صنایع و معادن، مدیریت زمین‌شناسی و اکتشافات

معدنی منطقه جنوب خاوری (کرمان).
ریاضی، ز.، قیطانچی، م. ر. و خدابوی، ش.، ۱۳۸۴- بررسی لرزه‌خیزی در گستره کرمان، بیست و چهارمین گردهمایی علوم زمین، سازمان زمین‌شناسی کشور.
زارع، م.، ۱۳۷۴- مطالعه لرزه زمین لرزه ساخت و تحلیل خطر زمین لرزه در گستره طرح تأمین آب دراز مدت کرمان، مهندسین مشاور هلیل آب.

- زمدیان، س.م.ع. و باقری، ع.ر.، ۱۳۸۳- معرفی مدلی برای پیش‌بینی جابه‌جایی جانبی ناشی از روانگرایی، مجموعه مقالات همایش زلزله، ۱۱-۱۰ تیرماه ۱۳۸۳، دانشگاه شهید باهنر کرمان، ص ۲۹۸-۳۰۶.
- زمدیان، س.م.ع. و منصوری، ا.، ۱۳۸۳- برآورد پتانسیل روانگرایی خاک‌ها با استفاده از الگوریتم ژنتیک، مجموعه مقالات همایش زلزله، ۱۱-۱۰ تیرماه ۱۳۸۳، دانشگاه شهید باهنر کرمان، ص ۲۹۱-۲۹۷.
- شاهپسندزاده، م. و حیدری، م.، ۱۳۷۵- بررسی مقدماتی لرزه‌خیزی، لرزه‌زمین‌ساخت و خطر رویداد زمین‌لرزه- گسلش در پهنه استان کرمان، مؤسسه بین‌المللی زلزله‌شناسی و مهندسی زلزله، ۲۱ ص.
- شرکت سهامی آب منطقه‌ای کرمان، ۱۳۸۳- گزارش مطالعات آب دشت کرمان- باغین، امور مطالعات پایه منابع آب، ص ۱۷۸.
- ظهوریان ایزد پناه، ع.ا.، مهاجر اشجاعی، ا.، کبیری، ا.، و حسینیان قمصری، م.، ۱۳۶۴- گسترش خسارات پس‌لرزه‌های دو زلزله مخرب ۱۳۶۰ شرق کرمان، نشریه فیزیک زمین و فضاء، جلد ۱۳، شماره ۲-۱، ص ۷۷-۷۲.
- عباس‌نژاد، ا. و داستانپور، م.، ۱۳۷۸- زلزله‌ها و زلزله‌خیزی استان کرمان، سازمان مسکن و شهرسازی استان کرمان، انتشارات خدمات فرهنگی کرمان، ۲۵۵ ص.
- عباس‌نژاد، ا.، ۱۳۸۳- حفره فروکش کارستی در اختیار آباد- شمال باختری کرمان، فصلنامه علمی-پژوهشی علوم زمین، سال یازدهم شماره ۵۲-۵۱، ص ۲۸-۳۵.
- عباس‌نژاد، ا.، ۱۳۷۷- گزارش حفاری چاه آب شماره ۱ زمین‌های کشاورزی کارکنان، شرکت تعاونی چند منظوره کارکنان دانشگاه شهید باهنر کرمان.
- عباس‌نژاد، ا. و حسن‌زاده، ر.، ۱۳۸۵- ریزپنهانی درجه ۲ و ارزیابی اثرات زلزله بر شهر کرمان با استفاده از GIS، چکیده مقالات دهمین همایش زمین‌شناسی ایران، دانشگاه تربیت مدرس، ۱۳ تا ۱۵ شهریورماه ۱۳۸۵، ص ۲۸۲.
- میر محمد حسینی، س.م. و درخشندی، م.، ۱۳۸۳- راهنمای مقاوم‌سازی زمین‌های سست در برابر روانگرایی، انتشارات دانشگاه صنعتی امیر کبیر (ترجمه مؤسسه تحقیقات سواحل و بنادر وزارت ترابری ژاپن، ۱۹۹۳).
- منتظر القائم، س.، ۱۳۷۴- حرکت‌های زمین و روانگرایی خاک در حین زلزله، مؤسسه بین‌المللی زلزله‌شناسی و مهندسی زلزله.
- یغمائی، م.ع.، ۱۳۷۱- طرح مطالعه لرزه‌خیزی استان کرمان، جلد اول، وزارت معادن و فلزات، شرکت توسعه علوم زمین.

References

- Alfaro, A., Pujades, L. G., Goula, X., Susagna, T., Navarro, M. Sanchez, J. & Lanas, J.A., 2002- Preliminary Map of Soils Predominant Periods in Barcelona using Microtremors, in :Earthquake Microzoming ed. by A. Roca and C. Oliveira , pp 2499-2511, Birkhauser Verlag, Berlin.
- Ansal, A. M., Iyisan , R. & Qullu, H., 2002- Microtremor Measurements for The Microzonation of Dinar , in: Earthquake Microzoning , ed. By A.Roca and C.Oliveira,pp 2525-2542, Birkhäuser Verlag,Berlin.
- Ashtari- Jafari, M., AKasheh, B, Fatemi, J. & Pas, F., 2004- Seismicity of Kerman , International Conference on Earthquake(A Memorial of Bam Disastar) , December 28- 30 , 2004 , kerman.
- Azizan, H., Shahraki, A. & Seifouri, S., 1999- Kerman geological map (1:100,000), Geological Survey of Iran.
- CITRA, 1965- Etude sur le Development del utilisation Des Eaux sou terraines Dans La zone De Kerman.
- Crouse, C. B., 1991 - Ground Motion Attenuation Equation for Earthquakes on Cascadia Subduction Zones. Earthquake Spectra 7(2): 201-236
- Dimitrijevic, M. D.,1973- Geology of Kerman region , G.S.I , report no. yu/52, 334p.
- Donovan, N. C., 1973 - A statistical evaluation of strong motion data including the Feb. 9,1971, San Fernando earthquake. Proc., 5WCEE, Rome, Italy, 1: 1252-1261.
- Duval, A. M., Vidal, S., Meneroud, J. P., singer, A., De Santis, F., Ramos, C., Romero, G., Rodriguez, R., Pernia, A., Reyes, N. & Griman, C., 2002, Caralos , Venezuela , Site Effect Determination with Microtremors in:Earthquake Microzoning , ed. by: A. Roca and C. Oliveira, p.p 2513-2523 Birkhauser , Berlin.
- Esteva, L. & Villaverde, R., 1973 - Seismic risk, design spectra and structural reliability. Proceedings of Fifth World Conference on Earthquake Engineering, 2: 2586-2596.
- Huckreide, R., kursten, M. & Venzlaff, I. T., 1962- Zur geologie des Gebietes zwischen Kerman and Sagand (Iran), Hannover Bundesanstact for Boden for schung 197 pp.
- I . S. S. M. F. E., 1993- The Techinal Committee for Earthquake Geotechnical Engineering , Tc4 , of The International Society for Soil Mechanics and Foundation Engineering, Mannal for zonation on Seismic Geotecnical Hazards.
- Kajar, M. H., 1996- the history of the kerman basin during the Neogene and Quaternary , G.S.I. Regional Center for S.E.Iran (Kerman).74 pp.
- Nowroozi, A. A. & Mohajer-Ashjai. A., 1985- Fault movements and tectonics of eastern Iran: boundaries of the Lut plate. Geophysical Journal of the Royal Astronomical Society 83(1): 215-237.
- Nowroozi, A. A, 1985- Empirical relations between magnitudes and fault parameters for earthquakes in Iran, Bulletin of the Seismological Society of America, 75(5):1327-1338
- Slemmons, D. B., 1982- Relationship between total fault length, surface rupture length and maximum displacement and earthquake magnitude, Abstract Earthquake Note 53, 66.
- Wang, j.G.Z.Q. & Tim Law, K., 1994- Sitting in Earthquake Zones, A.A. Balkema , London.
- Yousefi, E. & J. L., Friedberg, 1978- Aeromagnetic Map or Kerman Area,G.S.I.